

PROGRAMA

SESIÓN DE POSTERS

Miércoles 15 - 17:15 h

Hall Edificio

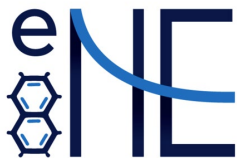
# Contrib.	Expositor		Título
1	Alejandro	Garrido Hidalgo	Exploring quantum interference effects of Majorana zero modes in an interferometer
2	Anais	Pastén	Interacción de Dzyaloshinskii-Moriya interfacial en superficies curvas
3	Anyela	Godoy Farías	Síntesis de compositos en base a CuBi_2O_4 y nanotubos de carbono
4	Bárbara	Rath Ríos	Medición de un objeto sin interacción
7	Bastián	Grez Pardo	Fano-Rashba effect in the presence of Majorana bound states
10	Camilo	Carrasco	Investigación de películas delgadas de óxido de zinc depositadas mediante laser pulsado asistido por plasma
12	Catalina	Apara Alexandrovich	Síntesis y caracterización de películas de ZnO nanoestructuradas

13	Christopher	Arriagada Cortés	Extensión de modelo BHZ en red cuadrada: fases topológicas con número de Chern superior
14	Cristian	Pinto Mancilla	Caloritronics Properties of WSe2 Heterostructures
15	Damari	Luna Herrera	DESARROLLO DE UNA NANOTECNOLOGIA SUSTENTABLE PARA LA OXIDACIÓN SELECTIVA DE MODELOS DE DÍMEROS DE LIGNINA EN PRODUCTOS DE VALOR AGREGADO
16	Daniel	Órdenes Domínguez	Magnetic Otto Engine for an Antidot System with Aharonov-Bohm flux
18	Darlyn	Riquelme	Scaffolds altamente orientado de celulosa bacteriana para cultivo de células musculares
21	Felipe	Pérez Riffo	Contact conductance in twisted bilayer graphene systems: Interplay between rotation angle, lattice relaxation, and bias
22	Felipe	Rojas Guzmán	Development of a microfluidic platform as an interaction interface for detection of exosomes derived from breast cancer cell lines
23	Fernando	Alvarez Asencio	Electrical transport in copper oxides with metallic nanostructures and their behavior as gas sensors
25	Franco	Carriel	Poder de frenado del nitruro de silicio para protones de bajas energías: Efecto del Band Gap

26	Gabriel	Díaz Pavez	Síntesis y caracterización de nanopartículas de vanadato de bismuto para la conversión de dímeros modelo de lignina a productos químicos de alto valor agregado
27	Génesis	Alvarado	Generación de trampas ópticas para el estudio de la correlación de dos partículas atrapadas
28	Ignacio	Román Pérez	Bound states in the continuum and Majorana Zero Modes
30	Javiera	Santin Machuca	Conversión de guayacol mediante fotocátalisis con nanocompuestos de óxido de molibdeno y nitruro de carbono.
31	Jorge	Flores	Flat modes in one-dimensional chiral magnonic superlattices
32	José	Jiménez Bustamante	Nonreciprocal localized surface modes in multilayered synthetic antiferromagnets
33	Juan	Fernández	Formación de terrazas grandes de oro (111), como sustrato para la deposición de monocapas de NiCl ₂ .
39	Kevin	González Tello	Bound states in the continuum in non-Hermitian systems with Flat Bands
41	Leonardo	Vergara Reyes	Películas de óxido de cobre decoradas con cromo como sensores resistivos de gas.

42	María	Saavedra-Fredes	Nanopuntas de silicio recubiertas de óxido de grafeno como sensores para campos magnéticos.
44	Martín	Helmrich von Elgott Groves	Transición Cuántica de Fase en un Sistema Ideal: Entre Bosones y Fermiones
45	Matías	Cepeda Arancibia	Texturas magnéticas cónico helicoidales estabilizadas con diferentes tipos de interacción Dzyaloshinskii-Moriya
46	Matias	Tomlinson Cornejo	Modulation of titanium oxynitride thin films in a dual radiofrequency plasma enhanced pulsed laser deposition
47	Miguel	Solis	Control de la Ferroelectricidad en Nitruro de Boro 2D Hexagonal
48	Natalia	Cortés	Magnetic-thermodynamic phase transition in strained-doped graphene
49	Natalia	Arancibia Realpe	Obtención de nanovarillas de oro recubiertas con sílice mesoporosa modificadas con ácido fólico, recubiertas con albúmina a través de microfluidica para aplicaciones en cáncer
50	Pablo	Uribe Pizarro	Predicción analítica de portadores calientes inducidos por plasmones superficiales en clústeres de nanopartículas
51	Paola	Sánchez Guerrero	Grafeno como conductor transparente en celdas solares de heterojuntura

52	Patricia	Martínez	Dependencia angular de la dispersión electrónica en Au(111) utilizando espectroscopía de fotoemisión inversa
53	Patricio	Vargas	Corner and edge states in finite 2D systems under a magnetic field
54	Pía	Fernández Rocha	Exploración experimental de ánodos de conversión nanoestructurados de Ni _x Cu _{1-x} O con geometría fractal para la optimización de Baterías de ion-Litio
55	René	Cuevas Muñoz	Síntesis y Aplicación de Puntos Cuánticos de Óxido de Zinc (ZnO) en Celdas Solares Sensibilizadas con Maqui y Rutenio
57	Rodrigo	Sánchez-González	Funcionalización de nanopartículas de oro con interruptores moleculares del tipo azofenildipiridínicos. Un análisis vibracional mediante Espectroscopia Raman Amplificada por Superficie (SERS)
61	Sanber	Vizcaya	Slide and twist: Manipulating Polarization in Multilayer hexagonal Boron-Nitride
65	Tamara	Beltran Zambrano	Grafeno como conductor transparente en celdas solares
66	Valentina	Solis Lazo	Estudio sistemático enfocado en la dinámica de la magnetización que presentan los nanohilos segmentados
67	Verena	Cárdenas Ríos	“Efectos de la interacción de nanosistemas compuestos por nanopartículas de oro y nanoclusters de oro-albúmina conjugados con ácido fólico en la internalización celular”



68	Vicente	Catalán Lobos	Control del proceso de reversión de magnetización en nanohilos multisegmentados con materiales duros y blandos
69	Vicente	Ruz Martínez	$\text{Ni}_x\text{Cu}_{1-x}\text{O}$ Thin Films on Stainless Steel Through the Use of a Modified Nickel Watts Bath for Lithium-Ion Battery Applications